Shifthahad ghang, atches XIX, No. 2, 1966

Серия технических наук

ЗЛЕКТРОТЕХНИКА

### э. л. оганесян

### РАСЧЕТ ХАРАКТЕРИСТИКИ ЛРОССЕЛЯ НАСЫЩЕНИЯ

В статье излагается метол расчета характеристики дросселя наевицения (ДН) с последовательно соединенными рабочими обмотками и свободинми четиыми гармониками тока (рис. 1) с применсиием кусочно-линейной аппроксимации естественной магнитной характеристики.

Метол исходит из теории ЛП с последовательно соединенными рабочими обмотками и свободными, четными гармониками, изложенной в [1]. В отличие от идеального ДП, в реальном, ампервитки будут равны сумме импервитков насыщения и ампервитков возбуждения. Для определения ампериитков возбуждения в рассматриваемом случае очень важным оказывается уранне-

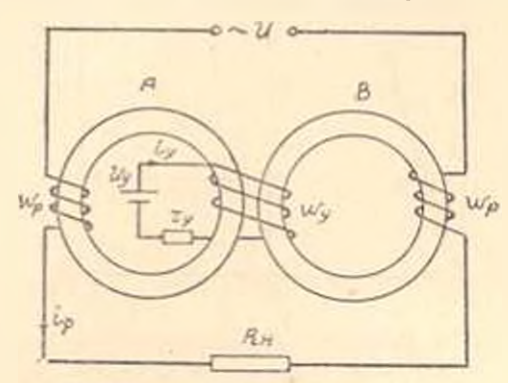


Рис. 1. Схема дросселя насыщения.

ние потоков в сердечниках, которые справедливы для всех ДН со своболными четными гармониками тока независимо от наличия обратной связи. Не ставятся также условия ограничивающие петлю гистеризиса, кроме того, что относительно выхолного сопротивления импеданс ненасыщенного ДН должен быть высоким, в насыщенного низким [1]. Так как дроссели А и В идентичные, то решая уравнения вмиервитков для магнитных цепей А и Б, получим следующие выражения:

для амперинтков управления

$$i_{p,n} = \frac{l_{p,n} = + l_{p,B} c_{p}}{2},$$
 (1)

для рабочих выпервитков

$$l_{\mu} w_{\mu} = \frac{I_{\nu,A} w_{\mu} - I_{\mu,B} w_{\mu}}{2}$$
 (2)

Намагничивающие ампервитки  $l_{\mu,A}$  тер и  $l_{\nu,B}$  — можем пыразить через потоки фл и фв и магнитную проводимость сердечников

$$I_{\mu} = \frac{\Phi_{A}}{2 \cdot 0.4 - G_{m,A}} + \frac{\Phi_{B}}{2 \cdot 0.4 + G_{m,B}}$$

$$I_{\mu} = \frac{\Phi_{A}}{2 \cdot 0.4 + G_{m,A}} - \frac{\Phi_{B}}{2 \cdot 0.4 - G_{m,B}}$$
(4)

$$l_p \boxtimes_p = \frac{\Phi_A}{2 \cdot 0.4 \pi G_{m,A}} - \frac{\Phi_B}{2 \cdot 0.4 \pi G_{m,B}}.$$
 (4)

Очевидно в интервале возбуждения намагинчивающие AW пределенные величины, а в интервале насыщения, скажем, когда насыщен сердечник  $A, G_{m,A} = 0$ , величины токов будут зависеть от других факторов, т. е. появятся токи насыщения и трансформации. Для определения AW возбуждения, которые имеют место и в интервале насыщения, аппроксимируем магнитную характеристику двумя отрезками:

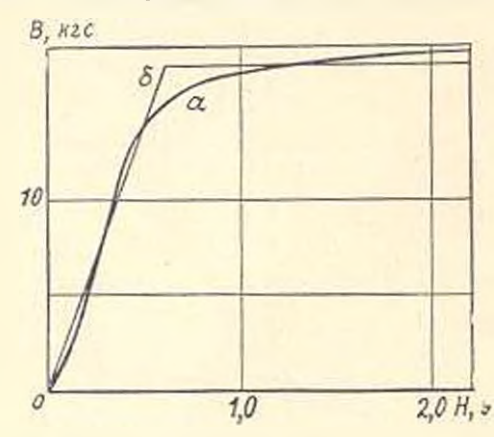


Рис 2. Магнитные характеристики; а естественная; б-анпроксимированная.

наклонным и горизонтальным (рис. 2). Это виесет в (3) и (4) некоторую ошибку, однако позволит проще показать физический процесс и доказать предположение о величине токов возбуждения в интервале насыщения. Оппибка вносимая аппроксимированием, учитывается выбором точки отсчета на действительной кривой для каждого значения угла насышения а.

Покажем, что следующие выражения для токов возбуж-

дения справеданны не только для интервала возбуждения, но и для интервала насыщения.

$$A_A = \frac{\Phi_A + \Phi_B}{2 \cdot 0.4 \pi G_m} \tag{5}$$

$$w = \frac{\Phi_A - \Phi_B}{2 \cdot 0.4 = G_m} \tag{6}$$

где  $G_m = G_{m,A} = G_{m,B} = \text{const}$  магнитная проводимость для симированной характеристики в ненасыщенной зоне.

Действительно, согласно  $[1] \Phi_A + \Phi_B = \text{const}$  в течение всего полупериода, следовательно должно быть постоянным в 🚛 в выражет нии (5). Пля доказательства, что и в действительности  $-\omega_x$  - const. предположим, что трансформация тока из рабочей обмотки в обмотку управления исключена тем или ниым способом. Тогла в цепи унравления будут течь только токи возбуждения, обусловленные пряжением управления и равные  $l_y = \frac{U_y}{r_x} = \text{const. Следовательно вы$ ражение (5) справедливо во всем полупериоде.

Значение  $\frac{\Phi_0}{2\cdot 04\pi G_a}$  конечно и постоянно в интервале насыщения

(исключая случай, когда обо дросселя насыщены), поэтому из (5)

следует, что и  $\frac{\Phi_4}{2\cdot 0.4 \pi G_m} = \text{const в интервале насыщения.}$  Тогда (6)

также справодливо. a  $i_p$   $w_p = \mathrm{const}$  в интервале насыщения.

Уравнение потоков и сердечниках A и B имеют следующий вид [1]:

$$\Phi_A = -\frac{1}{4f} \cdot \frac{10^6}{w_p} \left( \frac{U}{2} + U \frac{\cos z - \cos \omega t}{2} \right) \tag{7}$$

$$\phi_{n} = \frac{1}{4} \frac{10^{8}}{w_{p}} \left( \frac{U}{2} - U \frac{1 - \cos m t}{2} \right). \tag{8}$$

В силу (б) (8) получим

$$\iota_{\nu} w_{\nu} = -\frac{\pi}{4\omega L} \frac{w_{\rho}}{u} \frac{U}{x} \left( \frac{2}{x} - 1 + \cos \alpha \right) \tag{9}$$

$$I_{\mu}\omega_{\nu} = \frac{\pi\omega_{\rho}U}{2\omega L} \cdot \frac{1+\cos z - \cos \omega t}{1} \tag{10}$$

где  $L=2\cdot 0,4\pi G_m$   $w_p$   $10^8$  — индуктивность в рабочей цепи иснасыщенного ДН;

 $x=rac{U}{U_s}$  — относительное возбуждение (U — напряжение сети,

 $U_{x} = 2U_{x}$  напряжение насыщения последовательно соединенных рабочих обмоток).

Так как  $i_y w_y = \text{const}$ , то средние значения ампервитков возбуждения будут равны

$$I_y w_y = i_y w_y. (11)$$

Функция  $t_p$   $w_p$  знакопеременна при  $0 < \omega t < \alpha$  и постоянна при  $\alpha < \omega t < \pi$  . Тогда среднее значение  $t_p$   $w_p$  будет

$$I_{p} w_{\mu} = -\frac{1}{\pi} \int_{0}^{3} t_{p} w_{p} d(\omega t) + \frac{1}{\pi} \int_{3}^{3} t'_{p} w_{p} d(\omega t) + \frac{(z-\alpha) w_{p} U}{2\omega L} + \frac{1-\cos\alpha}{2}$$
(12)

где  $\theta = \arccos \frac{1 + \cos z}{2}$  — угол. при котором  $l_p w_p = 0$ .

Решая (12), получим

$$I_{L} = \frac{w_p U}{U} \tag{13}$$

гле  $\hat{a} = \hat{a}_1 + \frac{z-z}{2} - \frac{1-\cos z}{2}$ , а всвою очередь

$$\frac{3}{4} = \sin\left(\arccos\frac{1+\cos\alpha}{2}\right) - \frac{\sin\alpha}{2} + \frac{1-\cos\alpha}{2}\left(\frac{\alpha}{2} - \arccos\frac{1+\cos\alpha}{2}\right)$$

Полученное выражение громоздкое и его можно заменить следующим более простым приближенным выражением

$$\hat{\phi}_i \approx \sqrt{1 - \left(\frac{1 + \cos \alpha}{2}\right)^2 - \frac{\sin \alpha}{4}}$$

Очевидно а является функцией, независящей от параметров ДП, поэтому можно построить график а (2) (рис. 3) и использовать его при расчетах характеристик различных ДН.

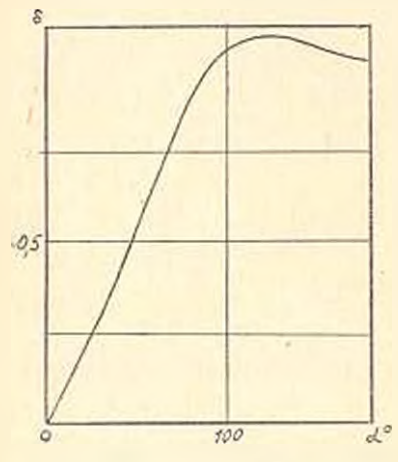


Рис. 3. Зависимость 6 от угла насыщения.

В интервале насыщения в  $w_p$  мы будем иметь не только ток насыщения равный  $R_{\text{онк}}$  -  $\sin \omega t$ , но и ток возбуждения. Строгого математического доказательства, что в интервале насыщения течет сумма этих токов, иет, но одно рассуждение и кривые токов на осциллографе делают это очевидным. Если предположим обратное, т. е. что в интервале насыщения в рабочей цепи имеем голько ток насыщения

$$l_{\rm B} = \frac{l_{\rm B}}{R_{\rm BMX}} \cdot \sin \omega t,$$

то при  $\omega t = \pi t (n=0,1,2\cdots) t_p=0$ , тогда как согласно (10) ток в рабочей цепи в начале каждого полупериода отличен от нуля (кроме случая полного насыщения обоих серлечинков). Значит, кроме токов насышения протекает и ток  $t_n$ , обусловленный энергией магнитного поля, хотя и считаем, что потоки  $\Phi_A$  и  $\Phi_B$  не меняются в интервале насыщения.

Ампервитки насыщения трансформируются без потерь в обмотку управления иснасыщенного дросселя  $B_*$  работающего в режиме трансформатора при коротком замыкании, вторичиая обмотка которогощень управления ДН. А потери от  $\Phi_B$  учтены уже в токах возбужления, т. е.

$$I_y^{\dagger} u_y = I_\rho^{\dagger} w_\rho = \frac{1}{\pi} \int_0^{\pi} i_\rho^{\dagger} w_\rho d(\omega t) = \frac{w_\rho U}{R} \cdot \frac{1 + \cos x}{2}$$
 (15)

Тогда коэффициент усиления по А W будет

$$K_{AW,DH} = \frac{I_p w_p}{I_y w_y} = \frac{I_m u_p}{I_y w_y + I_p w_p}$$
 (16)

Учитывая, что для уменьшения ошибки вносимой аппроксимащией магнитной характеристики будем получать различные «L для AW возбуждения цепи управления и рабочей цепи, обозначим инвуктивность для  $I_n w_p$  через L'.

Подставляя значения ампервитков в (16), окончательно получим:

$$K_{AW, DH} = \frac{\frac{-\frac{1}{2}U}{\omega L} \cdot \alpha(\alpha) + \frac{w_{p}U}{R_{max}} \cdot \frac{1 + \cos \alpha}{2}}{\frac{\pi}{4} \cdot \frac{w_{p}U}{\omega L} \left(\frac{2}{\kappa} - 1 + \cos \alpha\right) + \frac{w_{p}U}{R_{max}} \cdot \frac{1 + \cos \alpha}{2}}.$$
 (17)

где

$$\delta(a)$$
  $\sqrt{1-\left(\frac{1-\cos a}{2}\right)^2} = \frac{\sin a}{4} + \frac{\pi-a}{2} \cdot \frac{1-\cos a}{2}$ 

Из рис. 4 видно, что потоки, описываемые уравнениями (8) и (9), при любом значении в доходят до потока насыщения. Поэтому удобнее и

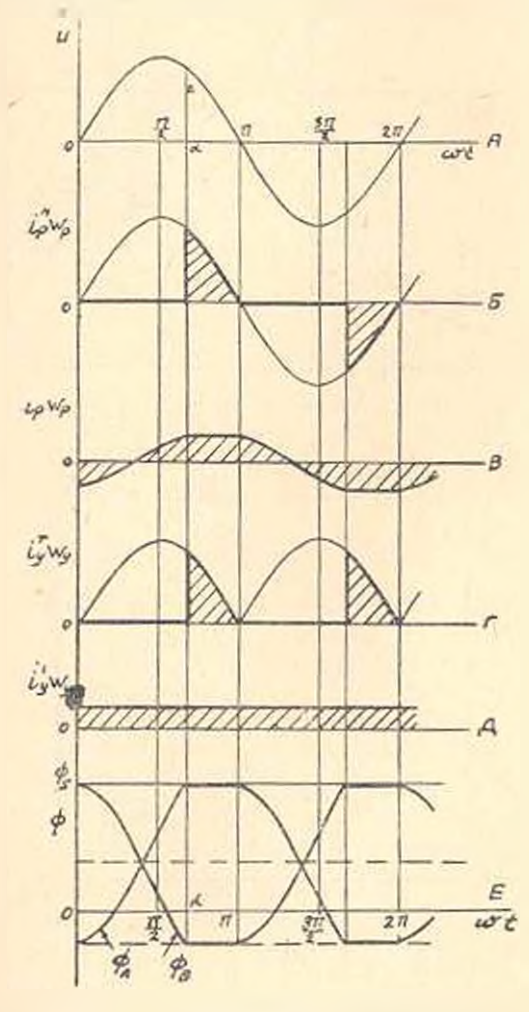


Рис. 4. А — кривая напряжения сети; Б — кривая ампервитков насыщения; В — кривая ампервитков позбуждения в рабочей обмотке: Г — кривая транс-рормируемых ампервитков в обмотку управления; І — кривая ампервитков возбуждения в обмотке управления; Е — кривая потоков и сердечинках.

правильнее брать за начало координат точку на кривой магнитной характеристики, соответствующей (точка O' на рис. 2). Абсолютные значения AW получаем, откладывая винз от  $U_s$  ( $\Phi_s$ ) значения  $U\left(\frac{1}{x}-1+\cos x\right)$  или соответствующего ему потока. Ампервитки  $\frac{w_p U}{x}$  оп-

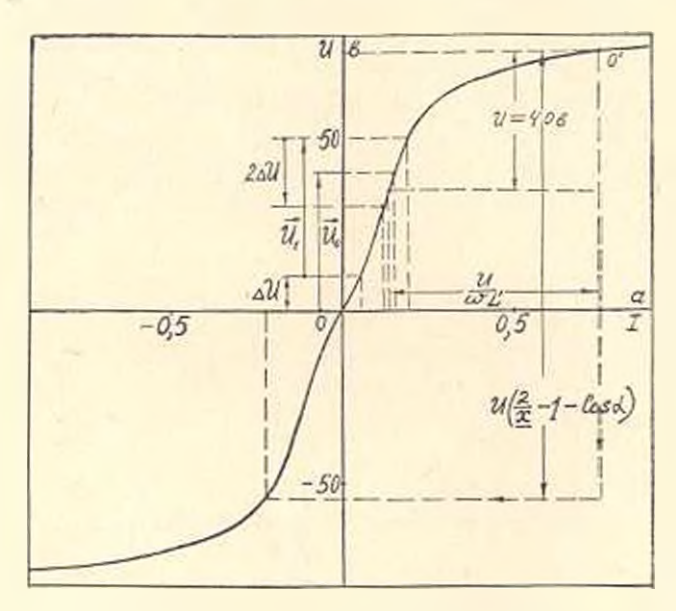


Рис. 5. Магнитная кривая.

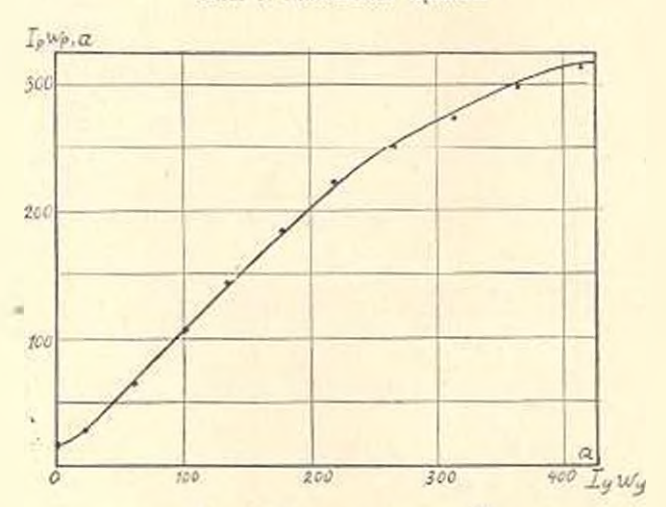


Рис. 6. Характеристика ДН.

ределяются один раз как функция от  $U(\Phi)$ , также откладывая значение  $U(\Phi)$  вниз от точки  $U(\Phi_s)$ .

При аналитическом способе расчета достаточно выразить магнитную кривую (обе ветки) одним из известных способов [2] и учесть

произведенное преобразование координат. Полученная формула (17) позволяет произвести аналитическое исследование характеристики ДН, значение которой увеличивается с появлением ДН с безиндуктивной ценью управления [3], а также решить обратную задачу, т. е. получить параметры ДП для обеспечения требуемой характеристики.

Пример: Расчитать характеристику ДИ при сопротивлении в рабочей цени  $R_{\text{max}} = 12,5$  ом, напряжении сети L' = 40 в, частоте f = 50 ги, числе витков рабочей обмотки  $w_p = 100$ . Магнитная характеристика в масштабе вольт-имперной характеристики приведена на рис. 5.

Принимая  $U_s = 75$  в, получаем относительное возбуждение  $x = \frac{1}{LL} = 0.53$ . Точку на кривой, соответствующую и обозначаем

через O'. Значение  $\frac{U}{mI'}$  получим, откладывая вниз от O'  $U{=}40$  s.

Теперь для каждого значения z, откладывая  $U\left(rac{2}{z}-1+\cos z
ight)$  полу-

чаем соответствующие токи, и но формуле (19) определяем Как, он. Начальную точку характеристики получаем откладывая U от точки О. Далее, перемещая этот вектор по оси ординат, находим токи, соответствующие новому положению вектора и  $2\Delta L^i$ , т. е.  $I_{\pi}(\widetilde{\mathcal{U}})$  и  $I_{\kappa}=\frac{I\left(2\Delta U\right)}{2}$ . По полученным результатам построена кривая

(рис. 6) и для сравнения в виде точек приводятся экспериментальные данные. Автор выражает благодарность члену-корреспонденту

АрмССР Г. Т. Адонцу за ценные замечания. **НРФЭ АН Армянской ССР** 

Поступнао 3,Х1.1965

AH

### է, է, ՀՈՎՀԱՆՆԻՍՅԱՆ

## ՀԱԳԵՑՄԱՆ ԳՐՈՍԵԼԻ ՔՆՈՒԹԱԳՐԻ ՀԱՇՎԱՐԿ

# U. d than than id

Հոդվածում ընդվում է հացեցման դրոսելի բնութացրի հաշվարկի մեթիող, որը հիմնվում է գրդոման ամպեր-գալարների որոշման վրալ Գրդոման ամպեր-գալարհերը, որոնչ, տեղի ունեն և ղեկավարման ջղիալում և աշխատող րդեալում, որորվում են միջուկի մադնիսային բնութագրի հատված-դժային ապրոկսիմացիույի միջոցով։ Տրվում է ուժեղացման դործակցի անալիաիկ արտահալտությունը՝ որոգես ֆունկդիա հաղեցման անկյունից, դրզոման աստի-Տանից և հացեցման գրոսել պարաժետրերիր։

#### ЛИТЕРАТУРА

- 1. Storm H. F. Magnetic Amplifirs, New York, Wiley, 1955.
- 2. Бессонов Л. А. Электрические цепи со сталью, Госэпергоиздат, 1918.
- 3. Chandler D. P., Downing R. W. Elimination of magnetic amplifier circuit inductance. Communication and Electronics, 550-557 (Nowember 1958).